

# ソフトウェア信頼性評価モデルとその適用に関する研究

中川, 豊

<https://doi.org/10.11501/3130975>

---

出版情報 : 九州大学, 1997, 博士 (情報科学), 論文博士  
バージョン :  
権利関係 :

## 第6章 大規模オンラインシステムの高信頼化試験法

これまでは、開発中あるいは開発されたソフトウェアの信頼性評価の指標である残存フォールト数の推定モデルとその適用法について述べた。本章では、サービスを間近にした時点で、ソフトウェアの信頼性そのものを如何に高めるかということ述べる。ここで述べる試験は、サービス開始前に実施する最終的な試験であり、これまでの試験によって達した信頼性の評価、そして、サービス開始のための信頼性保証の側面も合わせて持っている。

先ず、当該試験のねらいと試験システムの条件を述べ、試験効率化モデルを提示する。次に、その条件を充足するように開発した試験システムの機能と構成について述べ、そのシステムを使用した試験の効果を述べる。すなわち、試験実施時間の短縮効果、試験稼働の削減効果、サービス開始後の平均ダウン時間間隔 (MTBD: Mean Time Between Downs) の長さについて、従来と比較すると共に、検出したフォールトの分析結果からフォールト検出に関する有効性を示す。また、それらのフォールトの検出難易度による分類結果と信頼性の関係を述べる。

### 6.1 大規模システムの総合試験の課題

大規模システムを構成するプログラム個々の品質 (信頼性、性能、等) がよくても、それらを統合してひとつのシステムとして組み上げたとき、ハードウェアあるいはインターフェースのあるプログラムなどの走行環境の違い、CPU、メモリ、周辺装置などのハードウェア資源、あるいはメモリ常駐のデータやプログラムなどのソフトウェア資源への競合によって、期待した品質にならない場合が多い。そのため、通常負荷あるいは高負荷状態での長時間にわたる安定化試験により、サービス開始後の負荷に対して、応答時間そしてCPU、メモリ、周辺装置などの資源の十分性を事前

に確認しておく必要がある。また、この試験を通して、サービス開始後の平均故障時間間隔 (MTBF: Mean Time Between Failures) およびMTBDを推定し、必要に応じてさらに品質向上策を打つ判断も可能となる。その場合、実際の運用と同じ環境、同じデータでの試験が最良であるが、そのような試験は、一般には膨大な稼働を必要とする。このため、試験対象システムの端末台数や試験データを縮小した試験で済ませる場合が多い。

また、大規模システムは、一旦開発されるとシステム更改を重ねながら使用される。その更改の大半は、従来機能への新規機能の追加である。この場合、従来の大量の応用プログラム (AP) とデータベース (DB) の互換性を保証する必要がある。しかし、その保証にも大量の試験データと試験稼働が必要である。そして、性能面ではサービス開始直後から従来と同等の負荷がかかるため、総合試験では従来最大の負荷を想定した試験も必要である。

このように大規模システムの総合試験では、試験時間の短縮、試験稼働の削減が重要な課題である。

表6.1は、実際に運用開始後に検出されたフォールト83件を、検出遅延要因という観点から分析したものである。品質を最終的に保証する総合試験を進める場合、過去のシステムで検出されたフォールト内容も大いに参考になる。同種のフォールトが残存している可能性が高いからである。信頼性を保証するためには、次の試験データや試験環境が必要であることが、このフォールトの分析から得られる。

- (1) 多種多様な試験データ
- (2) いろいろなタイミングを生成できる試験環境
- (3) 実運用に則した試験環境

多種多様な試験データは、表6.1の項番1と項番5のフォールトに対処するものである。いろいろなタイミングを生成できる試験環境は項番2のフォールト、実運用に則した試験環境は項番3のフォールトに対処するためのものである。

これらの試験データおよび試験環境の準備も総合試験の課題である。

表 6. 1 運用中に検出されたフォールト

項番	検出遅延原因	件数	比率	フォールト内容
1	試験データのバリエーション不足	40件	48%	(1) 入力データのバリエーション (2) コマンドのパラメータのバリエーション (3) ファイル内容のバリエーション (4) 利用者契約情報のバリエーション
2	試験でタイミングをつかむのが難しい	21件	25%	(1) ファイルへのロックのタイミング (2) タスク間イベントの交換のタイミング (3) 非同期割り込みのタイミング (4) タスクのイベント処理とセンタコマンドのタイミング
3	試験環境がサービス時環境と異なる	12件	15%	(1) 試験負荷が低かった (2) 試験時のファイル量が少ない (3) 商用と違うモードでの試験 (4) センタにディペンデするハード構成に対する試験不足
4	テスト結果のチェックが不十分	7件	8%	(1) プログラムワーク用の内部テーブルの状態チェック不足 (2) 端末へのメッセージ情報のチェック不足
5	テスト用に特異データを作成しないと検出できない	3件	4%	(1) 大量データ処理時の配慮不足 (2) データの区切りが特定の値になった時の配慮漏れ

## 6. 2 総合試験の役割と試験システムの条件

### 6. 2. 1 総合試験の役割

総合試験までに実施される単体試験および統合試験では、プログラムのキロライン当たりの残存フォールト数、あるいは製造時に混入したフォールトの何パーセントを摘出しておくかという目標管理の下で、開発機能全体を網羅的に確認する試験が主である。これに対して、総合試験では、システム全体の最終的な品質保証のために、以下の確認を行う。

- (1) 要求機能を満足し、システムが長時間安定して動作することの確認
- (2) CPU使用時間、高負荷状態での応答時間、メモリ使用量、記憶装置の使用率など、性能面で問題のないことの確認

なお、システムの性能に関しては、実際の運用中に発生する最大負荷を確認しておくことが必要であり、さらに一歩進めて、システム資源それぞれの限界を見極めておくことも重要である。そのためには、実運用と同じ環境（ハードウェア構成、ソフトウェア構成、データベース保管状態）で試験をするのが必要条件となる。

また、サービス開始後の信頼性保証を確実にするために、それまでの試験では究明できなかった障害原因の一つひとつの解明、および検出し難いフォールトの再現試験も実施する。

### 6. 2. 2 試験システムの条件

総合試験用の試験システムの機能は、(a) 試験環境と試験データの作成機能、(b) 試験実行制御機能、および(c) 試験結果の確認機能、に区分できる。但し、ここでの試験環境の作成とは、試験対象システム上で走行するAPとDBを試験機上に設定することをいい、試験データはAPへの入力データをいう。

#### (1) 試験環境と試験データの作成機能

表 6. 1 の運用中に検出されたフォールトの分析結果が示すように、大規模システムのソフトウェアの信頼性向上には、いかに多種多様の試験データを用意できるかにかかっている。特に、システム更改では、従来機能

の互換性を保証するデグレード試験が不可欠である。このためのデータは、新たに作成するより、実運用で利用されるデータを利用する方がより多様なデータを得ることができる。運用中のデータを利用するためには、運用システムのAP、DB、そして、システムと端末との通信データを収集する機能が必要である。

(2) 試験実行制御機能

長時間の安定動作確認試験を実施するには、試験データを長時間、高負荷で試験対象システムに供給できる機能が必要となる。この場合、供給する試験データ量を、簡便に制御できる機能も合わせて必要となる。以下、単位時間当たりのシステムへのデータ転送量と同時接続端末数との積をトラヒックと呼ぶ。

(3) 試験結果の確認機能

総合試験では、試験対象システムへ入力したデータに対する応答データの可否を確認する必要がある。大量の入力データを用いる場合、この確認作業を手で実施するのは、作業量、確認時間共に大きくなり、現実的ではない。そのため、試験システムでは、試験結果を自動照合する機能が必要となる。当該機能は、実運用で利用された応答データを正解値として、試験時の応答データを、それと照合させることにより実現可能である。

6. 2. 3 試験効率化モデル

前述のように、総合試験では試験時間の短縮が重要な課題である。実運用中のデータを試験データとして用いた場合の試験時間の短縮は、センタ・端末間のデータ入力から処理結果受取りまでの時間、これをインタラクション時間と呼ぶ、の短縮とトラヒック制御による運転時間の短縮によって可能となる。

(A) インタラクション時間の短縮

センタ・端末間のインタラクション時間  $x$  は、図 6. 1 のモデルで表すことができる。すなわち、

$$x = \alpha + \beta + \gamma + \delta \quad (6.1)$$

ここで、 $\alpha$  : 端末利用者の思考時間

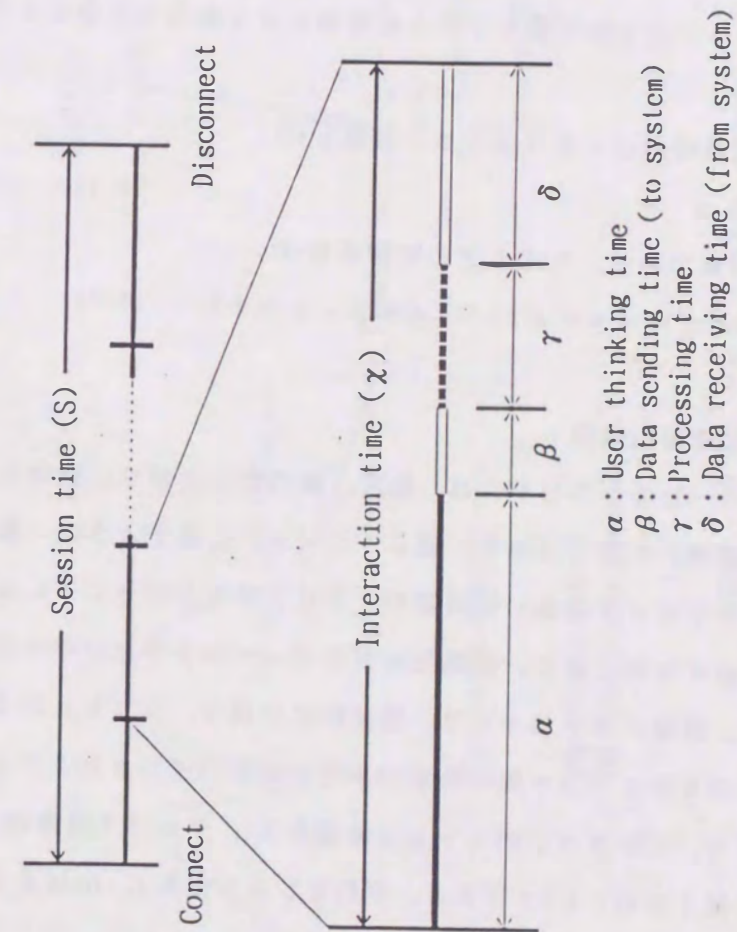


図 6. 1 インタラクションモデル

$\beta$  : 端末からセンタへのデータ転送時間

$\gamma$  : センタの処理時間

$\delta$  : センタから端末へのデータ転送時間

一方、試験時のインタラクション時間  $\chi_i$  は、試験システムでは制御できない  $\gamma$ 、試験システムのハードウェア構成によって決定される  $\beta$  および  $\delta$ 、試験システムのトラフィック制御機能で制御可能な  $\alpha$ 、そして、試験システムの処理時間  $\varepsilon$  からなる。ここで、センタ・端末間を高速の通信回線で接続すれば、 $\beta$  と  $\delta$  は、転送データ量が非常に大きい場合を除けば無視できる。さらに、 $\alpha$  は試験システムの制御により無視できるほど小さくできる。

よって、試験時のインタラクション時間  $\chi_i$  は、

$$\chi_i = \gamma + \varepsilon \quad (6.2)$$

まで短縮可能であり、そのときの短縮率  $\theta_i$  は、

$$\theta_i = \chi_i / \chi = (\gamma + \varepsilon) / (\alpha + \beta + \gamma + \delta) \quad (6.3)$$

となる。

#### (B) 運転時間の短縮

運用中の一日のトラフィックは、通常、朝の立ち上がり、昼休み、および夕方から夜間にかけては低く、図 6. 2 (a) に示すように一様ではない。これらのトラフィックの低い時間帯のトラフィックを上げるにより、試験時間の短縮が可能となる。試験対象システムへのトラフィックを制御することにより、試験のトラフィックは、理想的には図 6. 2 (b) のようにできる。一日のセッション（一連の処理の単位で複数のインタラクションからなる）数を  $n$ 、セッション  $j$  のセッション時間を  $S_j$ 、サービス開始時刻を  $t_s$ 、サービス終了時刻を  $t_e$  とすると、平均セッション時間  $S_{av}$  は次式となる。

$$S_{av} = \sum_{j=1}^n S_j / n \quad (6.4)$$

システム運用時の平均同時接続数  $C_{av}$  は、

$$C_{av} = \sum_{j=1}^n S_j / (t_e - t_s) \quad (6.5)$$

一日の運転時間  $T$  は、

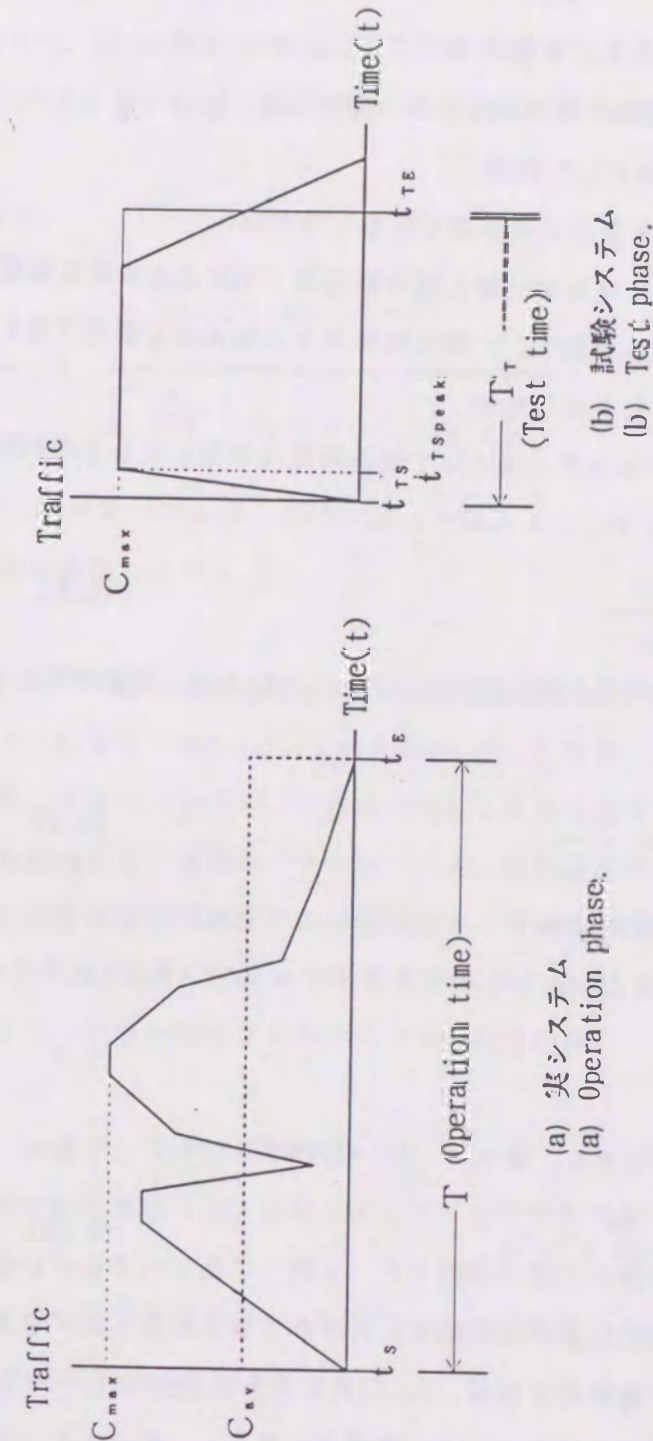


図 6. 2 システムトラフィック特性

$$T = t_E - t_S = \frac{S_{av} \times n}{C_{av}} \quad (6.6)$$

と表すことができる。また、

$t_{TS}$ : 試験を開始した時刻、

$t_{TE}$ : 試験を終了した時刻、

$t_{TSpeak}$ : 試験トラヒックが高く安定した時刻、

$C_{max}$ : 過負荷にならない最大同時接続数 (平均応答時間を保証するために用いる定数で、一般にはシステム生成時に設定する)、

$S_{max}$ : 最長のセッション時間、

とすれば、トラヒックを高くして運転時間を短縮したときの試験時間  $T_T$  ( $= t_{TE} - t_{TS}$ ) は、 $(t_{TSpeak} - t_{TS}) \ll T_T$ ,  $S_{max} \ll T_T$  ならば、近似的に、

$$T_T \approx \frac{S_{av} \times n}{C_{max}} \quad (6.7)$$

となる。よって、同時接続数を上げることにより、試験時間は次式のように短縮できる。

$$\Theta_c = \frac{T_T}{T} = \frac{C_{av}}{C_{max}} \quad (6.8)$$

(C) 試験時間短縮率

いま、 $j$  番目のセッションのインタラクション回数を  $m_j$  とすれば、

$$S_j = \sum_{i=1}^{m_j} \chi_{ij} \quad (6.9)$$

と表すことができる。従って、(6.4)式は、

$$S_{av} = \sum_{j=1}^n \sum_{i=1}^{m_j} \chi_{ij} / n \quad (6.10)$$

となる。同様に、 $\chi_{Tij}$  を試験時における  $j$  番目のセッションの  $i$  番目のインタラクション時間とすれば、(6.2)式の最も短縮したインタラクション時間を用いた試験時の平均セッション時間  $S_{Tav}$  は、

$$S_{Tav} = \sum_{j=1}^n \sum_{i=1}^{m_j} \chi_{Tij} / n \quad (6.11)$$

となるので、(6.7)式は、

$$T_T \approx \frac{S_{Tav} \times n}{C_{max}} \quad (6.12)$$

となる。従って、(6.8)式の  $T_T$  を (6.12)式で置き換えて、(6.1)、(6.2)、(6.10)、(6.11)式を用いれば、試験時間の理想的な短縮率  $\Theta$  は次式となる。

$$\begin{aligned} \Theta &= \Theta_c \times \Theta_T \\ &= \frac{C_{av}}{C_{max}} \times \frac{\sum_{j=1}^n \sum_{i=1}^{m_j} (\gamma_{ij} + \epsilon_{ij})}{\sum_{j=1}^n \sum_{i=1}^{m_j} (\alpha_{ij} + \beta_{ij} + \gamma_{ij} + \delta_{ij})} \quad (6.13) \end{aligned}$$

### 6.3 総合試験用システム

筆者らは、オンライン情報処理システムの性能試験を目的にした多端末シミュレータ (MTS: Multi-Terminal Simulator) など、一連の試験システムを開発してきた[1]~[4]。その集大成として図6.3に示す総合試験システムを開発した。当該システムは、(a) 試験データ事前収集機構、(b) 機能試験や安定化試験などの信頼性向上と保証に使う RASP (Reliability Assurance System using Practical data)、(c) 性能試験に使う MTS、の三つのサブシステムから構成される。

#### 6.3.1 試験データ事前収集機構

試験データ事前収集機構は、実際にオンラインサービスを行っているシステム内で動作するものであり、図6.4の網掛け部分に当たる。当該機構は、入出力データの収集そしてAPおよびDBの収集の2つからなる。

(1) 入出力データの収集

(A) 入力データの収集

入力データの収集は通信制御プログラムを改造して実現している。システム内の図6.4(a)通信制御プログラムが、端末からの入力データを TSP/RTP に渡すとき、同時に図6.4(b)データ収集プログラ

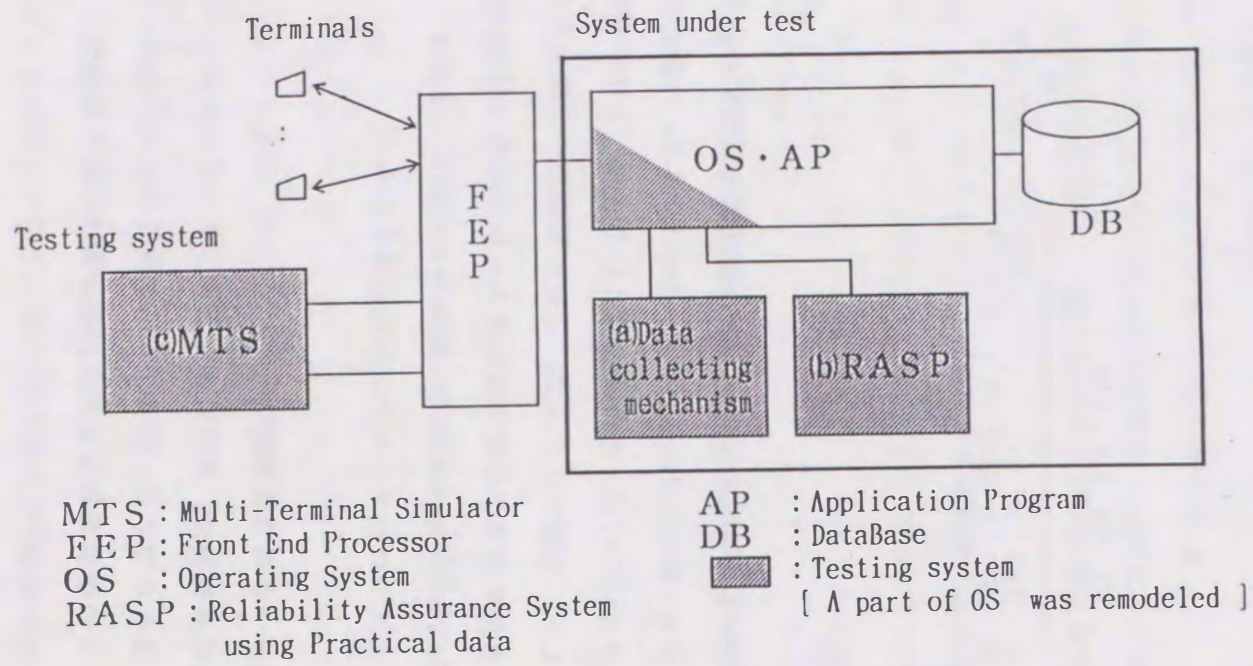


図 6. 3 総合試験システムの構成

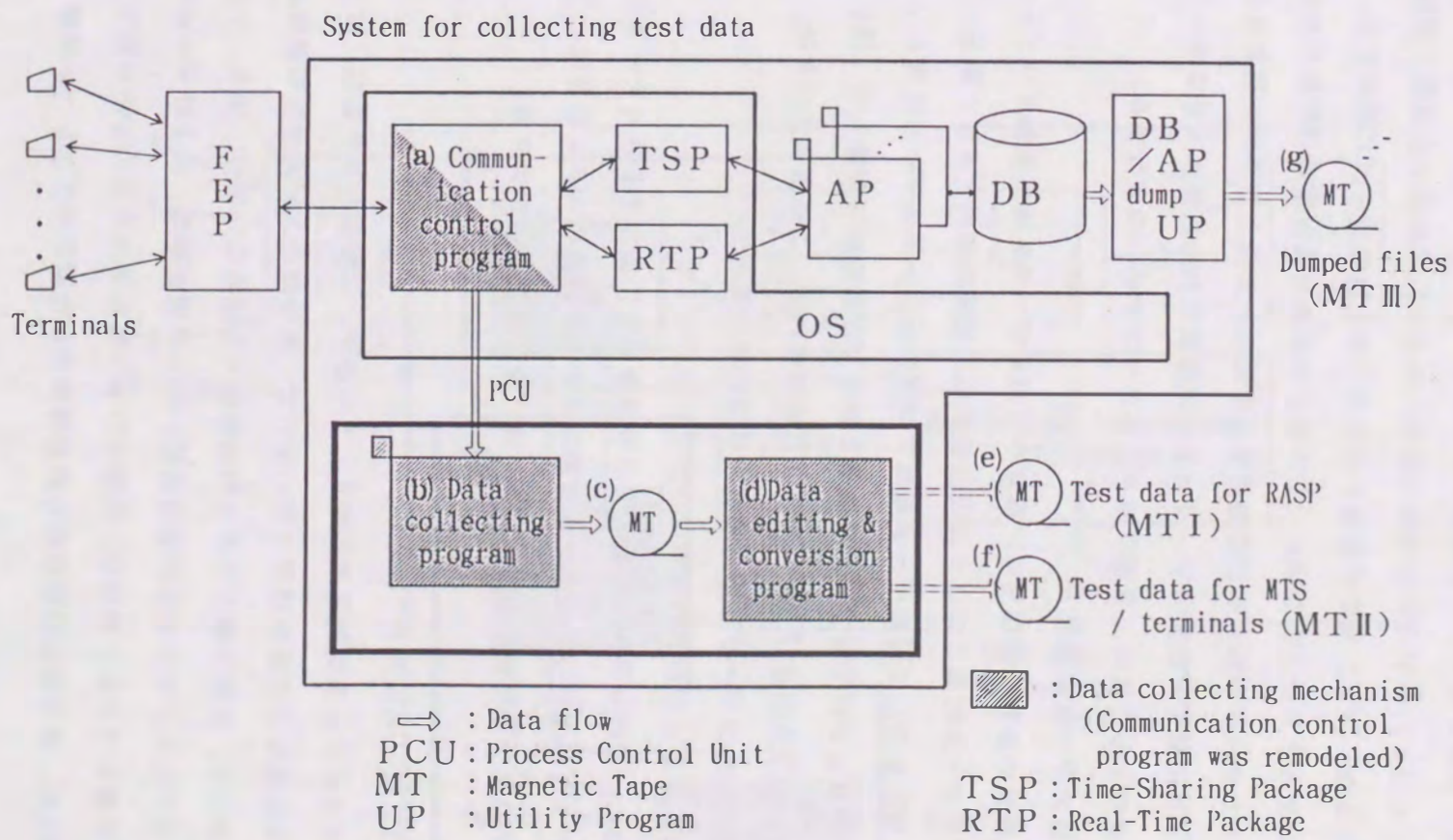


図 6. 4 試験データ収集機構の概要

ムにも渡す。渡すデータはPCU (Process Control Unit) と呼び、前置処理装置 (FEP: Front End Processor) と通信制御プログラムとの通信単位である。

1 インタクションは、通常、複数のPCUからなる。データ収集プログラムは、収集したPCUを端末別およびセッション別に、時系列に整理して図6.4(c) MTに出力する。図6.4(d) 試験データ編集/変換プログラムは、(c) MTに収集されたデータを試験データに編集する。ひとつはRASPの入力形式に、もうひとつは通信制御情報の削除や分割された入力データの結合などの処理をして端末からの入力形式に編集する。このデータはMTSの入力データあるいは実端末から直接入力するデータとして使用する。なお、当該プログラムはオフラインで走行する。

(B) 出力データの収集

試験結果の合否の確認用に、端末への出力データも通信制御プログラムを通してデータ収集プログラムで収集する。当該出力データは、図6.4(c) MTを介して試験データ編集プログラムで、入力データと対にして、RASPおよびMTSでの試験結果と照合できる形式に変換して、図6.4(e) MT Iおよび(f) MT IIに出力される。この出力データは、試験実施時の出力データとの自動照合に用いられる。

(2) APおよびDBの収集

一般に、どのシステムにもAPとDBをMTに出力するユーティリティプログラムが備わっている。本試験システムの場合もAPとDBは、これらのプログラムを使用して、図6.4(g) MT IIIに出力する。

6.3.2 RASP

RASPによる試験方式を図6.5に示す。本試験システムは、MTSのように外付けの試験設備を用いなくて、実運用システムだけで構築される。従って、試験対象システムの処理能力を越えない限り、図6.1のインタクションモデルでの思考時間、データ送信時間、およびデータ受信時間を最小にすると同時に、処理セッション数を増大することが可能である。このため、最大限に時間短縮した長時間安定化試験やデグレード試験が可

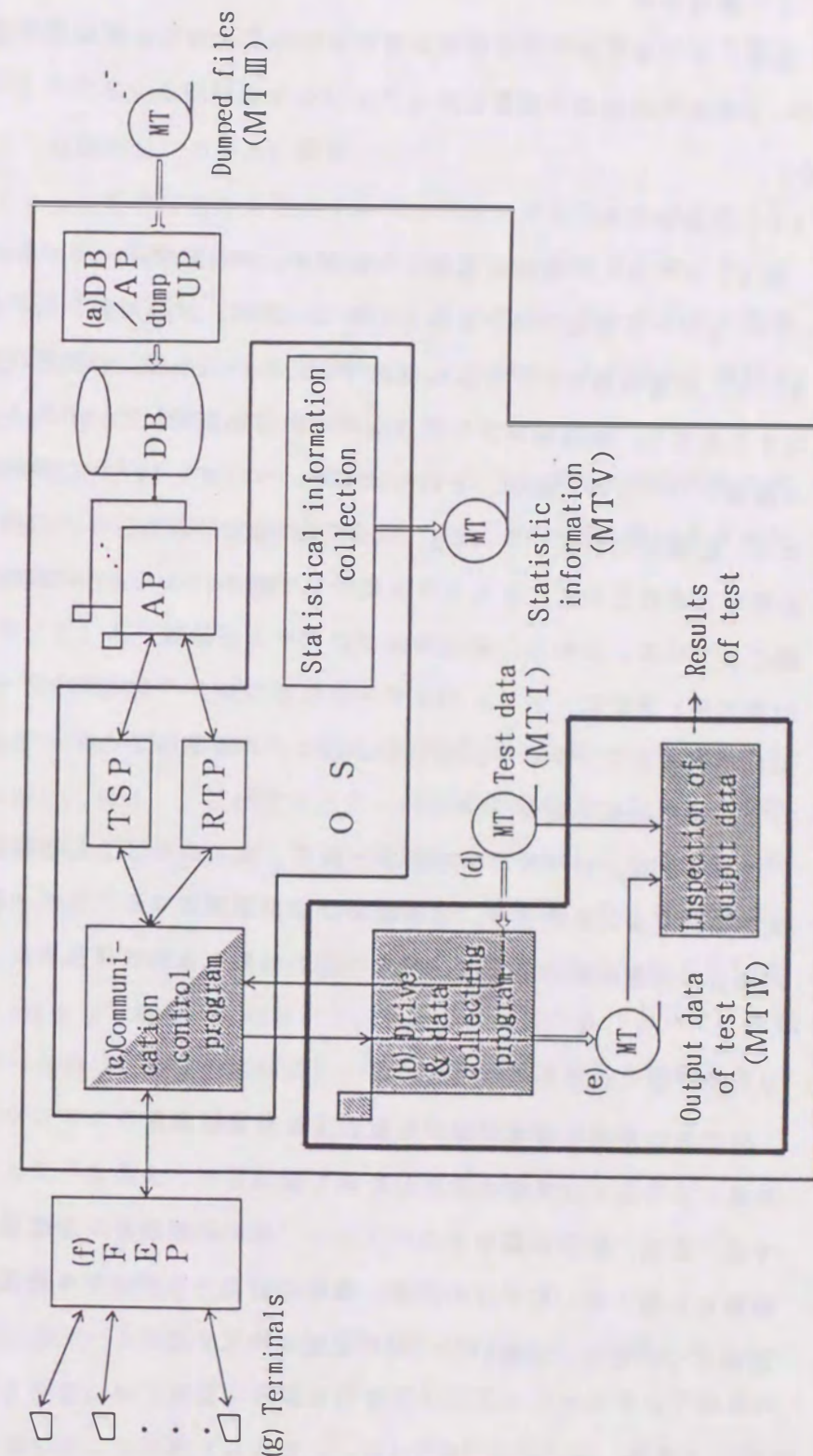


図6.5 RASPによる試験方式

能となる。RASP試験は以下の手順で進める。

#### (1) 事前処理

図6.5(a)ユーティリティプログラムによって、試験開始前に試験データ事前収集機構で収集したAPとDBを試験対象システム上に復元する。

#### (2) 試験の実施

図6.4(e)で事前に収集した試験データを、図6.5(b)のドライバー&データ収集プログラムによって、順次、試験対象システムの図6.5(c)通信制御プログラムに送出する。APが処理した結果は端末に出力する直前で、通信制御プログラムが出力先を変更して、ドライバー&データ収集プログラムに渡す。それらは図6.5(e)MTIVに格納される。また、試験時に図6.5(f)FEP上の通信ソフトウェアの機能確認が必要なときのために、RASPと並行して図6.5(g)の端末を動作可能にしている。これは、通信制御プログラムが論理バス(センタと端末との通信路)単位に、ドライバー&データ収集プログラムに渡すデータか、端末に出力するデータかを区別することにより実現している。

#### (3) 試験結果の確認

試験終了後、MTIVの処理結果と図6.5(d)MTIの事前収集データを照合することにより、処理結果の合否を確認する。なお、端末を用いた場合の試験結果の確認は、端末の出力結果を人手で確認する。

### 6.3.3 MTS

MTSは多数の端末の動作を擬似する性能試験用システムである。試験対象システムとは実際の複数の回線で接続され、多様なトラヒックを発生する。また、応答時間やスループット(単位時間当たりの処理量)の測定機能も具備する。MTSの構成、機能の詳細およびMTSを用いた試験実施法については、文献[1]~[3]に記述されている。

## 6.4 適用例と評価

ここでは、RASPを用いた長時間安定化試験の実施結果について述べる。

### 6.4.1 試験対象システムの概要

対象システムは科学技術計算用タイムシェアリングシステム(TSS)の更改版である。全国6箇所にセンタがあり、センタ間は専用線でネットワーク化されている。各センタには、図6.6に示すソフトウェアが搭載されている。APにはシステムが提供するライブラリプログラムと利用者が開発したユーザプログラムがある。

システムの更改では、既存のロードモジュール(計算機が実行可能な形式のプログラム)の実行保証が必要である。また、サービス開始直後から更改前と同等のトラヒックがある。

### 6.4.2 収集試験データ量

実際の運用中(サービス時間帯:午前8時~午後10時、日曜日は運休)のシステムから、表6.2に示すセンタ・端末間の交信データを30日間にわたって収集した。30日のうち18日は全データを、12日は端末指定で収集した。全データを収集した日の平均PCU数は、196,972(=3,545,494/18)である。また、端末指定で収集した日の合計PCU数は、634,448である。これは、3.2日分に相当する。よって、収集した試験データ量は、実質的には21.2日分で、ほぼ297時間の量になる。

### 6.4.3 試験の効率化効果

#### (1) 試験時間の短縮効果

収集した試験データのうち7日分(239,936PCU)は、運用システムと比べて、DK装置、MT装置、回線制御装置の少ないハードウェア構成の試験機で使用した。残りの23日分(3,941,006PCU)は、運休の日曜日を利用して、実際の運用システムで使用した。前者の試験では、試験デー

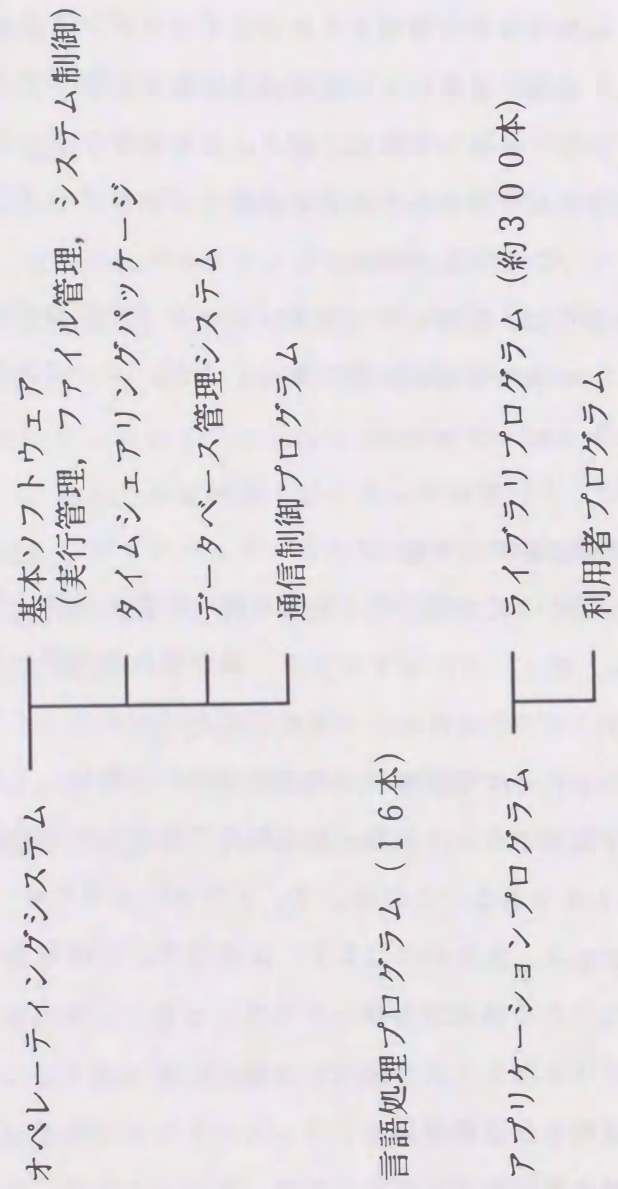


図6.6 試験対象システムのソフトウェア構成

表6.2 RASP試験データ

収集回数	PCU数	セッション数	記 事
1	14,234	86	注: 10端末
2	22,267	164	注: 26 "
3	29,463	193	注: 31 "
4	33,731	217	注: 31 "
5	50,152	322	注: 59 "
6	41,252	230	注: 85 "
7	42,022	198	注: 85 "
8	56,966	346	注: 85 "
9	90,477	543	注: 71 "
10	82,880	570	注: 86 "
11	85,417	581	注: 99 "
12	86,587	539	注: 48 "
13	98,085	590	
14	105,175	704	
15	197,864	1,350	
16	216,406	1,281	
17	229,088	1,202	
18	258,510	1,438	
19	166,912	1,037	
20	246,013	1,516	
21	230,779	1,510	
22	270,374	1,528	
23	177,670	1,026	
24	155,685	971	
25	139,870	937	
26	253,200	1,602	
27	150,139	1,057	
28	170,031	1,073	
29	223,944	1,487	
30	255,749	1,423	
累計	4,180,942	25,721	163PCU/セッション

注] : 端末指定により一部データのみ収集

データを収集した運用システムと試験機システムとのシステム構成の違いなどにより、約12.6%の試験データが無効になった。後者の試験では、試験時間の制約があり、途中で試験を打ち切るなどにより、26.0%の試験データが未使用となった。その結果、収集したPCU数4,180,942に対して、使用したPCU数は3,126,852で、収集データの74.8%に当たり、19,200(=3,126,852/163)セッションに相当する。また、実施した試験時間は合計82時間30分であった。

よって、試験時間は、 $1/2.7$ (=82.5/(297×0.748))に短縮できたことになる。

一方、試験データ収集時と試験実施時の平均同時接続数の比、すなわち、(6.8)式の $\theta_c$ は、およそ0.5である。また、インタラクションの平均的特性は、

- ・実際の平均インタラクション時間 $\chi \approx 40$ 秒
- ・平均センタ処理時間 $\gamma \approx 6$ 秒
- ・RASPの平均処理時間 $\varepsilon \approx 1$ 秒
- ・RASPのトラヒック制御時間 $\alpha = 0$ 秒、 $\beta \approx 0$ 秒、 $\delta \approx 0$ 秒

であるので、 $\theta_r$ は、およそ $1/6$ (=(6+1)/40)である。従って、(6.13)式より理想的な試験時間短縮率 $\theta$ は $1/12$ となる。

ところで、別途実施した性能試験から、試験対象システムは約60,000PCU/時間(セッション数に換算すると約368セッション/時間)の処理能力を有するデータが得られた。この処理能力からすると、試験は52.2(=19,200/368)時間で完了できることになり、これを短縮率で表すと、 $1/4.3$ (=52.2/(297×0.748))になる。

今回の試験の短縮率が、 $1/2.7$ となった要因として、次の2点が挙げられる。

(A) (6.1)式の $\alpha$ を零としたため、試験対象システムに過大な負荷がかかり、 $\gamma$ と $\varepsilon$ が見込み値より大きくなった。

(B) 実際の試験では図6.2(b)の垂直線のように終了せず、斜線のように徐々にセッションが終了するため試験時間が延びた。

従って、今後の改善点として、試験システムでシステムの負荷を監視し、その値に応じて $\alpha$ を自動制御する機能を具備することが挙げられる。これにより過負荷による処理能力の低下を防止でき、短縮率はさらに向上すると考えられる。

#### (2) 試験稼働等の削減効果

試験稼働は、大きく次の4項目に分類できる。

- (A) データ収集・作成稼働
- (B) 試験環境設定稼働
- (C) 試験実施稼働
- (D) 試験後の確認および後処理稼働

RASP導入前の(C)試験実施稼働を1として、これまでの経験から得られた、RASP導入前後の試験稼働の比較を表6.3と図6.7に示す。

まず、(A)について、RASPの導入前の場合、システム更改時のデグレード試験は、既存システムの総合試験データを使用することで済ませていた。RASP導入後のように新たなデータの追加は行われていない。従って、導入前は従来データの利用なので稼働は零、導入後は新規データを作成する作業が増えることになる。(B)はAPおよびDBの設定作業が主であるため、同等と見ることができる。(C)および(D)は自動化の効果が顕著な部分である。稼働の削減効果を論じる場合、(A)は比較の意味がないため対象外とすると、試験稼働は従来の $1/5.8$ ( $\approx 0.26/1.50$ )となり、効果は大であるといえる。

#### 6.4.4 試験の信頼性向上効果

RASP適用試験で検出したフォールト15件を、プログラムの種類と検出遅延要因で分類したものを表6.4に示す。15件のうち14件(表6.4のA, B, C項のフォールト)は、従来の試験環境とデータでは検出し難いフォールトであり、実際の運用で投入されたデータを高負荷状態で用いて試験した効果である。

また、RASPを用いて試験したシステムと、このシステム更改前の

表 6. 3 試験稼働の比較

試験稼働	従来試験	RASP適用
(A) データ収集・作成	0	0.07
(B) 試験環境設定	0.12	0.12
(C) 試験実施	1	0.07
(D) 試験後の確認・後処理	0.38	0.07
合 計	1.50	0.33

(注) 従来試験実施稼働を1としたときの相対値である。

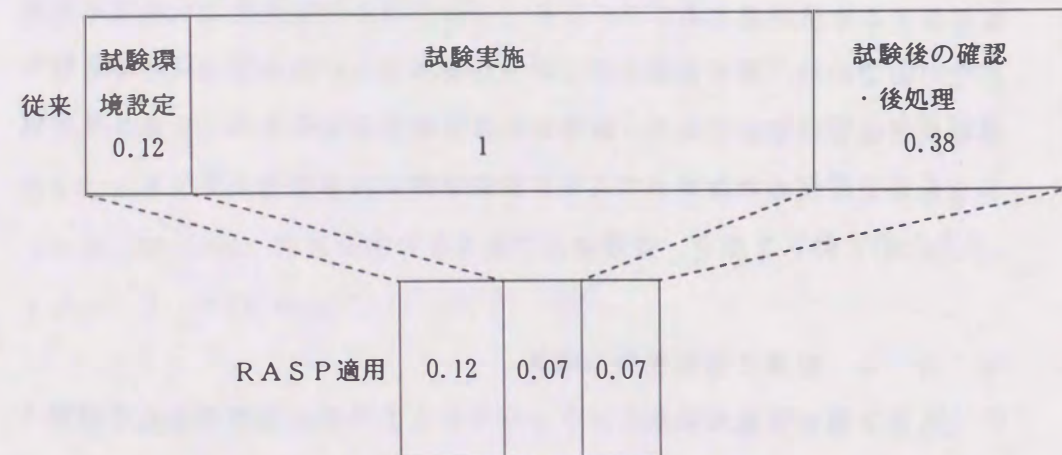


図 6. 7 試験稼働の比較

表 6. 4 RASP試験での検出フォールト

検出遅延原因	OS	LP	AP	合計
(A) 試験データのバリエーション不足	2	1	4	7
(B) タイミングをつかむのが難しい	5	0	0	5
(C) 試験環境が実運用環境と異なる	2	0	0	2
(D) テスト結果のチェックが不十分	1	0	0	1
(E) 特異データを作成しないと検出不可	0	0	0	0
合 計	10	1	4	15

表 6. 5 RASP導入前後のMTBDの比較

サービス開始後の期間	MTBD	
	導入前	導入後
直後一ヶ月目	2.1	5.9
直後二ヶ月目	1.8	2.8
直後三ヶ月目	2.3	5.5
平均	2.1	4.7

(注) 過去のデータから最低値を1としたときの相対値

RASPを用いないシステムとのサービス開始後3か月間のMTBDの比較を表6.5に示す。MTBDはRASP適用の方が約2倍ほど長くなっている。効果があったともいえるが、これはRASPによる試験実施までに確保した信頼性にも依存するため、一概にRASP適用効果ということとはできない。

#### 6.5 フォールト検出難易度でみた信頼性

表6.1のフォールトを、フォールト検出難易度で分類すると、項番4はクラス1、項番1, 3, 5はクラス2、項番2はクラス3に分類される。従って、クラス1, 2, 3の相対検出率は、それぞれ0.08, 0.67, 0.25となる。表6.1のソフトウェアはシステムプログラムに属する。そこで、これらの値を表4.4に示すシステムプログラムの値と比較すると、総合試験終了時点( $J_2$ )の最新相対検出率(0.1, 0.7, 0.2)と同種の安定運用中のソフトウェアの最新相対検出率(0, 0.7, 0.3)との間に位置する。表6.1のフォールトは、運用開始後に検出されたフォールトであり、FDMの根拠とするフォールト特性と合致する。また、表6.1のデータと表4.4のデータとの関係は、同種のソフトウェアの相対検出率は似通った特性を示すこと、そして、開発済みのソフトウェアのフォールトデータは、同種の開発中のソフトウェアの評価に利用できることを意味する。

表6.3のフォールトを表6.1と同様に、フォールト検出難易度で分類すると、クラス1, 2, 3の相対検出率は、0.07, 0.60, 0.33となる。従って、FDMによる評価では、表6.3のソフトウェアは、表6.1のソフトウェアよりも少し信頼性が高いことになる。この評価結果は、表6.5に示すMTBDのデータによって裏付けられる。逆に、FDMを用いれば、表6.5の比較結果が推定できるともいえる。

結果的に、表6.1および表6.3のフォールトデータは、FDMの評価精度の確かさを裏付ける。

## 第7章 結論

### 7.1 連結指数形ソフトウェア信頼度成長モデル

#### 7.1.1 信頼度成長曲線形成の物理的解釈

フォールト検出率(単位時間当たりのフォールト検出数)を用いて実際の信頼度成長曲線の特性を分析し、統合試験、総合試験、運用それぞれの工程で、指数形あるいはS字形の信頼度成長曲線が形成されていることを示した。さらに、これら全体の工程を通した巨視的な成長曲線の特性はS字形であることも示した。そして、各試験工程の進め方をモデル化し、試験工程の進め方と形成される成長曲線の特性との関係を明らかにし、つぎの新しい物理的解釈を述べた。すなわち、

(1) 信頼度成長曲線の基本特性は指数形であるが、メインルート構成モジュールが先行して統合されるという統合試験の進め方から、S字形が形成される。

(2) 全試験項目を確認するという試験目的のために、試験工程終盤になるとフォールト検出率が本来より低くなる。

そして、これまでのSRGM論では殆ど触れられていない成長曲線の試験工程境目での段丘形状の特性について、これが上記(2)に起因しており、大規模ソフトウェアの開発で形成されることを述べ、事例を示した。

#### 7.1.2 連結指数形SRGMと近似式の導出

上記の物理的解釈から、大規模ソフトウェアの信頼度成長曲線は、小さな指数形成長曲線と、それに続く大きな指数形成長曲線とが連結して出来ることを述べ、連結指数形SRGMを導出した。そして、連結指数形SRGMが形成する成長曲線は、実際にはS字形として観測されること、さらにソフトウェアの規模が小さくなると、指数形の特長曲線になることを述べた。

当該モデルを開発現場で使用するには、メインルート構成モジュールの統合と残りの大多数のモジュールの統合との分界点を明確にして進める必要がある。しかし、これは開発上の大きな制約となる。そこで、指数形SRGMを近似式として用いることを提示した。連結指数形SRGMと指数形SRGMとの推定値の差は、測定数を10以上にすると、ほとんど無視できる程度になることを示し、指数形SRGMが近似式として使用できることを述べた。

#### 7. 1. 3 連結指数形SRGMの適用法と推定精度

試験工程の終盤と開始時期はフォールト検出率が低くなるという物理的解釈に基づき、それに該当する測定データをノイズデータとみて、適用データからふるい落とすことにより推定精度を向上させるという適用方法を述べ、データふるい落としアルゴリズムを述べた。

そして、実際の大規模システムの開発データを用いて、代表的な3つのSRGMと残存フォールト数の推定精度を比較し、連結指数形SRGMは、試験工程半ばの統合試験終了時点での推定精度が2~10倍良いことを示した。

#### 7. 1. 4 今後の課題

連結指数形SRGMは、次式で表わされる。

$$M(t) = a_1[1 - \exp(-bt)] + a_2[1 - \exp(-by)], \quad (2.5)$$

$$a_2 \gg a_1 > 0, \quad b > 0,$$

$$y = \begin{cases} 0 & t < t_0, \\ t - t_0 & t \geq t_0. \end{cases}$$

ここでは、フォールト出現率 $b$ は一定と仮定している。しかし、実際のソフトウェア開発では、試験の進捗と共に、検出困難なフォールトの比率が多くなっていく。すなわち、統合試験より総合試験の方がフォールト検出率(単位時間当たりのフォールト検出数)が低くなるのは、指数形SRGMの物理的解釈である残存フォールト数が少なくなったからだけではなく、出現率の低いフォールトの比率が多くなった要因も影響していると考えら

れる。従って、試験の進捗と共にフォールト出現率が低減していく連結指数形SRGMを導出すれば、より高い精度で残存フォールト数を推定できると考えられる。すなわち、上記モデルの導出と適用法の開発が、今後の課題として挙げられる。

### 7. 2 フォールト検出難易度モデル(FDM)

#### 7. 2. 1 フォールト検出難易度の分類基準

タイミングを現出させる実行多重度および実行環境や特異な処理データの実行条件という2つの分類軸を用いて、フォールト検出難易度を3クラスに分類する分類基準と手順を述べ、各クラスのフォールト例を示した。また、各検出難易度クラスのフォールト発生メカニズムをベトリネットを用いてモデル化し、フォールト検出難易度の違いを明らかにした。そして、実際に運用されたソフトウェアの運用2年間に検出されたフォールトの分類事例を示した。

#### 7. 2. 2 FDMの導出と推定精度

検出フォールト数の増大、換言すれば残存フォールト数の減少と共に、検出難易度の低いフォールトの検出割合は下がり、逆に高いフォールトの検出割合が大きくなっていくという物理的解釈を述べた。この物理的解釈に基づき、最新 $m$ 個のフォールトにおける検出難易度クラス別比率、すなわち最新相対検出率から残存フォールト数を推定するFDMを導出した。但し、最新相対検出率を求めるときの母数とするフォールト件数は、10件以上を必要とすることも述べた。

そして、実際に開発されたソフトウェアのフォールトデータを用いて、FDMおよび代表的な3つのSRGMによる残存フォールト数推定値を求めた。それらを比較して、統合試験終了時点でのFDMの推定精度は、他のSRGMより7~9倍高いことを示した。

### 7. 2. 3 残存フォールト数の実践的推定法

実用ソフトウェアの開発において、残存フォールト数を実数より過少評価すると、進捗上の大きな問題を引き起こす場合がある。対策は後手後手になり、試験の収束までに予期せぬ時間と費用がかかる。

少し多めの稼働を要するにしても、むしろ、多少過大気味の残存フォールト数の評価の方がリスクは小さい。従って、信頼性評価モデルを適用する場合、一時的なフォールト特性で残存フォールト数を過少評価していないかの点検が重要となる。

FDMの物理的解釈に基づけば、分析対象のフォールト件数を増加させると、それだけ時間的に古いフォールトが多くなるため、残存フォールト数は多めに推定される。常にこれが成り立つとは限らないが、この特性を利用すれば、リスクを小さくする推定値が得られる。以上の考えに基づき、分析対象のフォールト件数を変えて、2つの残存フォールト数の推定値を算出し、ヒューリスティックな考察でリスクの小さな残存フォールト数を決定するという実践的適用法を述べた。

### 7. 2. 4 FDMによる信頼性成長の図形表記

開発ソフトウェアと同種のソフトウェアの最終相対検出率および固有相対検出率のデータがあれば、検出フォールト数の割合Rを前もって全て計算することができる。そして、それらは正三角形上に割り付けることができる。FDMチャートと呼ぶその正三角形を提示した。この正三角形上に開発中のソフトウェアの最新相対検出率を表示していけば、信頼性の成長状況を図形として表示できる。

統合試験、総合試験では、それぞれフォールト検出目標値を定めて試験を進める。FDMチャート上に、その目標値および同種のソフトウェアの最終相対検出率をあらかじめ表示しておけば、目標への接近状況および目標到達状況を図形として把握可能となる。

FDMチャートは、開発現場での簡易な目標管理の道具として利用できることを述べた。

### 7. 2. 5 今後の課題

大規模ソフトウェアの開発において、統合試験終了時点での残存フォールト数は、総合試験における製造側のバックアップ要員数や体制、あるいは品質強化試験の必要性を決定する重要な指標である。この時点の残存フォールト数を精度よく推定できるFDMは、開発管理の有用な道具となる可能性をもつ。

FDM適用上の問題は、各種のソフトウェアの固有相対検出率および最終相対検出率のデータ蓄積がないことである。フォールトデータは、一般にソフトウェア故障処理票と呼ばれる帳票に記録される。ソフトウェア開発中は、これらの帳票はきちんと管理されるが、開発が終了し、しばらく時間が経過すると処分されてしまう。帳票の処分前に、上記データの収集、蓄積を実行できるかが課題である。

また、FDMの適用事例は、まだまだ少なく、現時点は、実用可能性を示した段階といえる。FDMの実用性を立証するには、幅広い追試が必要であり、そのためにも、上記データの収集、蓄積が重要である。そして、これらのデータ蓄積により、残存フォールト数の推定精度もまた、上がる事が期待できる。

## 7. 3 大規模オンラインシステムの高信頼化試験法

### 7. 3. 1 総合試験システムの機能と構成

大規模システムの総合試験では、実際の運用環境と同じ環境での試験が重要であり、そこで、長時間運転の確認および応答時間や処理能力の最終的な確認を行う必要がある。しかし、それらの試験には、大量の多種多様な試験データおよび膨大な試験実施稼働が必要であり、それらの効率化が課題となっている。

一般に、大規模システムは、一度開発されると更改を繰り返しながら長期間使用される。そのようなシステムの開発においては、実際に運用されているシステムのセンタ・端末間の通信データを試験データとして、そして、そこに搭載されているAPおよびDBを試験環境として使用する試験

方式が有効である。その試験方式を具体化した試験システム R A S P の機能と構成および処理方式について述べた。

### 7. 3. 2 試験効率化モデル

大規模システムの総合試験の効率は試験時間の短縮率で評価できる。試験時間はセンタ・端末間のインタラクション時間とトラヒックに依存するため、これらの時間の短縮が重要となる。

実運用におけるインタラクション時間とトラヒック特性を分析し、それぞれの時間短縮方法と短縮率を導出した。そして、試験時間の短縮率は、インタラクション時間の短縮率とトラヒック増大による運転時間の短縮率の積で表わされることを示した。

### 7. 3. 3 試験の効率と効果

R A S P を用いた総合試験の評価として、試験時間の短縮率、試験稼働の削減率、そして高信頼化効果について述べた。すなわち、試験時間は  $1/2.7$  に短縮でき、試験稼働は従来と比較して  $1/5.8$  に削減できたことを示した。また、実際の試験時間が理想的な短縮率まで短縮できなかったことは、システムの負荷制御が十分でなかったことが要因として挙げられるという考察を述べた。

試験の高信頼化効果については、検出したフォールト 15 件中の 14 件が、従来の試験では検出できないフォールトであること、さらに、サービス開始直後の三ヶ月間の MTBD を従来と比較し、一概に R A S P の効果ということとはできないが、約 2 倍の改善が見られたというデータを示した。

### 7. 3. 4 FDM の評価精度

表 6. 3 および表 6. 1 のフォールトをフォールト検出難易度で分類すると、クラス 1, 2, 3 の相対検出率は、それぞれ (0.08, 0.67, 0.25), (0.07, 0.60, 0.33) となる。従って、FDM による評価では、表 6. 3 のソフトウェアは、表 6. 1 のソフトウェアよりも少し信頼性が高いことになる。この評価結果は、表 6. 5 に示す MTBD のデータによって裏付

けられる。

また、表 6. 1 のソフトウェアはシステムプログラムに属するため、その相対検出率を表 4. 4 に示すシステムプログラムの値と比較すると、総合試験終了時点 (J2) の最新相対検出率 (0.1, 0.7, 0.2) と同種の安定運用中のソフトウェアの最新相対検出率 (0, 0.7, 0.3) との間に位置する。表 6. 1 のフォールトは、運用開始後に検出されたフォールトであり、これらの値の関係は、FDM が根拠とするフォールト特性と一致する。

表 6. 1 および表 6. 3 のデータは、また、同種のソフトウェアは類似のフォールト特性を有することを示す。これより、同種のソフトウェアの固有相対検出率および最終相対検出率を使用すれば、精度の高い残存フォールト数の推定が得られることが伺える。結果的に、表 6. 1 および表 6. 3 のフォールトデータは、FDM の評価精度の確かさを裏付ける。

### 7. 3. 5 今後の課題

大規模という言葉が意味する規模の大きさは、技術の進歩と共に変化している。1970年代は数百キロラインであり、1980年代は、これが1メガラインになり、1990年代は数メガライン以上になっている。最近、クライアント/サーバ (C/S) システムやネットワーク分散システムが開発されてきているが、大規模システムは、現状、センタ中心の構成が大半である。従って、ここで述べた R A S P 試験方式は、今後も、適用可能であり、しかも規模が大きくなるほど効果を発揮すると考えられる。

しかしながら、ネットワーク技術の進歩と共に、C/S システム、ネットワーク分散システムが増加してくるのは明らかである。これらネットワークを使用したシステムの品質評価、高信頼化を、効率よく実施できる総合試験方式と試験システムの開発が、今後の課題として挙げられる。

## 謝 辞

本論文をまとめるに当たり、懇切丁寧なご指導とご高配を賜った九州大学大学院システム情報科学研究科 牛島和夫教授に厚くお礼申し上げます。また、本論文について有益なご助言を賜った九州大学大学院システム情報科学研究科 牧之内顕文教授並びに程京徳教授に深く感謝申し上げます。

本研究は、筆者が日本電信電話株式会社横須賀電気通信研究所並びにソフトウェア研究所在職中に行ったものであり、この間、多数の先輩、同僚の方々からご指導ご鞭撻を頂きました。特に、NTTソフトウェア研究所 竹中市郎主幹研究員（現在久留米工業大学教授）にはフォールト検出難易度モデルの共同研究と共に研究全般に渡る多大なご指導を頂きました。NTTソフトウェア研究所 伊土誠一所長並びにNTT情報通信研究所 杉村康主任研究員には大規模オンラインシステムの高信頼化試験法の共同研究と共に暖かいご支援を頂きました。NTTソフトウェア研究所 古山恒夫主幹研究員（現在東海大学教授）にはソフトウェア信頼度成長統合モデルの共同研究とご指導を頂きました。鳥取大学山田茂教授には最尤法に関するご指導を頂きました。さらに、本論文のとりまとめに際して、NTTソフトウェア株式会社 高村真司取締役相談役、森道直取締役、細谷僚一取締役、福山峻一部長、吉田清部長からは、終始、暖かいご支援と励ましを頂きました。皆様方に心からお礼申し上げます。

## 文 献

### 第1章

- [1] 亀田靖浩, "大規模ソフトウェア開発の現状と課題," 信学会誌, vol.74, no.5, pp.457-460, May 1991.
- [2] 島崎恭一, "情報システムの現状と展望," NTT技術ジャーナル, pp.8-11, no.8, 1995.
- [3] S.E.Hon III, "Assuring software quality through measurements: A Buyer's perspective," J.Systems Soft., vol.13, pp.117-130, 1990.
- [4] M.v.Genuchten, "Why is software late? An empirical study of reasons for delay in software development," IEEE Trans. Software Eng., vol.17, no.6, pp.582-590, June 1991.
- [5] 中川豊, "ソフトウェア信頼度成長曲線の分析に基づく連結指数形ソフトウェア信頼度成長モデル," 電子情報通信学会論文誌, Vol.J77-D-I, No.6, pp.433-442, June 1994.
- [6] 中川豊, 竹中市郎, "エラー複雑度に基づくソフトウェア信頼性モデル," 電子情報通信学会論文誌, Vol.J74-D-I, No.6, pp.379-386, June 1991.
- [7] 中川豊, 竹中市郎, "フォールト検出難易度に基づく残存フォールト推定モデルの適用法," 電子情報通信学会論文誌, Vol.J80-D-I, No.3, pp.282-290, March 1997.
- [8] 伊土誠一, 中川豊, 杉村康, "運用データを利用した大規模オンライン情報処理システム用信頼性保証方式," 電子情報通信学会論文誌, Vol.J79-D-I, No.12, pp.1192-1202, Dec. 1991.
- [9] Z.Jelinski and P.B.Moranda, "Software reliability research," in Statistical Computer Performance Evaluation, W.Freiberger, Ed., pp.465-484, Academic Press, New York 1972.
- [10] G.J.Shick and R.W.Wolverton, "An analysis of competing software reliability models," IEEE Trans. Software Eng., vol.SE-4, no.2, pp.104-120, March 1978.
- [11] B.Littlewood and J.L.Verrall, "Likelihood function of a debugging model for computer software reliability," IEEE Trans. Rel., vol.R-30, no.2, pp.145-148, June 1981.
- [12] E.Nelson, "Estimating software reliability from test data," Microelectronics and Reliability, vol.17, pp.67-74, 1978.
- [13] J.R.Brown and M.Lipow, "Testing for software reliability," in Proc.Int. Conf. Reliable Soft., pp.518-527, April 1975.
- [14] C.V.Ramamoorthy and F.B.Bastani, "Software reliability: Status and perspectives," IEEE Trans. Software Eng., vol.SE-8, no.4, pp.359-371, July 1982.
- [15] J.D.Musa, "A theory of software reliability and its application," IEEE Trans.

- Software Eng., vol.SE-1, no.3, pp312-327, Sep. 1975.
- [16] A.L.Goel and K.Okumoto, "Time-dependent error-detection rate model for software reliability and other performance measures," IEEE Trans. Rel., vol.R-28, no.3, pp.206-211, Aug. 1979.
- [17] J.D.Musa and K.Okumoto, "A logarithmic Poisson execution time model for software reliability measurement," Proc. 7th Int. Conf. Software Engineering, pp.230-238, 1984.
- [18] S.Yamada, M.Ohba and S.Osaki, "S-shaped reliability growth modeling for software error detection," IEEE Trans. Rel., vol. R-32, no.5, PP.475-478, Dec. 1983.
- [19]大場充, 梶山昌之: "習熟型ソフトウェア信頼度成長モデル," 情処学会ソフトウェア工学研究会, vol.28-6, pp.31-36, Feb. 1983.
- [20]岩佐博: "エラーの重要度およびエラー修正過程を考慮した複合ソフトウェア信頼度成長モデルの提案," 情処学論, vol.29, no.5, PP.506-512, May 1988.
- [21] N.Karunanithi, D.Whitly and Y.K.Malaiya, "Prediction of software reliability using connectionist models," IEEE Trans. Software Eng., vol.SE-18, no.7, PP.563-574, JULY 1992.
- [22] Y.Tohma, K.Tokunaga, S.Nagase, Y.Murata, "Structural approach to the estimation of the number of residual software faults based on the hypergeometric distribution," IEEE Trans. Software Eng., vol.SE-15, no.3, PP.345-355, March 1989.
- [23] K.Matsumoto, K.Inoue, T.Kikuno and K.Torii, "Experimental evaluation of software reliability growth models", Proc. of 18-th International Symposium on Fault Tolerant Computing, pp.148-153, 1988.
- [24]山田茂, "ソフトウェア信頼性評価技術," H B J 出版局, 1989.
- [25] T.Furuyama, and Y.Nakagawa, "A Manifold Growth Model That Unifies Software Reliability Growth Models," International Journal of Reliability, Quality and Safety Engineering, vol.1,no.2, pp.161-184, 1994.
- [26] J.W.Duran and J.J.Wiorkowski, "Capture-recapture sampling for estimating software error content," IEEE Trans. SoftwareEng., vol.SE-7, no.1, pp.147-148, Jan. 1981.
- [27] 伊土誠一, "「バグ捕獲・再捕獲」を用いたソフトウェア信頼性保証について," 情処学論, vol.34, no.12, pp.2534-2542, Dec. 1993.
- [28] P.Yip, "Estimating the number of errors in a system using a Martingale approach," IEEE Trans. Rel., vol.44, no.2, pp.322-326, June 1995.
- [29] R.J.Rubey, J.A.Dana, P.W.Biche, "Quantitative Aspects of Software Validation," IEEE Trans. Software Eng., vol.SE-1, no.2, pp.150-155 JUNE 1975.
- [30] A.Endres, "An Analysis of Errors and Their Causes in System Programs," IEEE Trans. Software Eng., vol.SE-1, no.2, pp.140-149 JUNE 1975.
- [31] N.F.Schneidewind & H.M.Hoffmann, "An Experiment in Software Error Data

- Collection and Analysis," IEEE Trans. Software Eng., vol.SE-5, no.3, pp. 276-286 MAY 1979.
- [32] J.B.Bowen, "Standard error classification to support software reliability assessment", AFIPS, Proceedings of the National Computer Conference, Vol.49, pp.697-705 1980.
- [33] R.L.Glass, "Persistent Software Errors," IEEE Trans. Software Eng., vol.SE-7, no.2, pp.162-168 MAR.1981.
- [34] V.R.Basili, B.T.Perricone, "Software errors and complexity: an empirical investigation," Communications of the ACM, Vol.27, No.1, pp.42-52, Jan. 1984.
- [35] J.S.Collofello, L.B.Balcom, "A proposed causative software error classification scheme," AFIPS, Proceedings of the National Computer Conference, vol.54, pp.537-545 1985.
- [36] T.Nakajo, H.Kume, "A case history analysis of software error cause-effect relationships," IEEE Trans. Software Eng., vol.17, no.8, pp.830-838 Aug, 1991.
- [37] 宮本勲, "ソフトウェアエンジニアリングの現状と展望," T B S 出版, 1982.
- [38] 中所武司, "ソフトウェアのテスト技法," 情報処理, Vol.24, No.7, pp.842-852, 1983.
- [39] J.K.Chaar, M.C.Halliday, I.S.Bhandari, R.Chillarege, "In-process evaluation for software inspection and test," IEEE Trans. Software Eng., vol.19, no.11, pp.1055-1070, 1993.
- [40] A.M.Adler and M.A.Gray, "TA Formalization of Myers cause-effect graphs for unit testing," ACM SIGSOFT software engineering Notes, vol.8, no.5, pp.24-32, 1983.
- [41] 野木兼六, 古川善吾, 保田勝通, "ソフトウェアテスト項目作成支援システム," 日立評論, vol.66, no.3, pp.29-32, 1984.
- [42] L.J.White and E.I.Cohen, "A domain strategy for computer program testing," IEEE Trans. Software Eng., vol.SE-6, no.3, pp.247-257, 1980.
- [43] E.J.Weyuker and T.J.Qstrand, "Theories of program testing and application of revealing subdomains," IEEE Trans. Software Eng., vol.SE-6, no.3, pp.236-246, 1980.
- [44] W.E.Howden, "Reliability of the path analysis testing strategy," IEEE Trans. Software Eng., vol.SE-2, no.3, pp.208-215, 1976.
- [45] P.Piwowski, M.Ohba, J.Caruso, "Coverage measurement experience during function test," Proc. of 15th ICSE, pp.287-299, 1993.
- [46] D.Hamlet and R.Taylor, "Partition testing does not inspire confidence," IEEE Trans. Software Eng., vol.SE-16, no.12, pp.1402-1411, 1990.
- [47] J.W.Duran and S.C.Ntafos, "An evaluation of random testing," IEEE Trans. Software Eng., vol.SE-10, no.4, pp.438-444, 1984.
- [48] M.Z.Tsoukalas, J.W.Duran and S.C.Ntafos, "On some reliability estimation problems in random and partition testing," IEEE Trans. Software Eng., vol.19,

no.7, pp.687-697, 1993.

- [49] T.Y.Chen and Y.T.Yu, "On the relationship between partition and random testing," IEEE Trans. Software Eng., vol.20, no.12, pp.977-980, 1994.
- [50] T.Oka, T.Abe, S.Ido and J.Shindo, "Multi-terminal simulating test system," REVIEW of ECL, vol.23,no.9-10, pp.1100-1108, 1975.
- [51] 拜原正人, 神尾視教, 柴武志, 十倉健二, 大町雄一, "多端末試験システム," 研実報, vol.28, no.12, pp.2725-2743, Dec. 1979.
- [52] 斉藤珠喜, 福岡允治, 池田良一, 長浜芳寛, 戸田悟, 萩原和夫, "DIPS 104-02システムサポートシステムの実用化," 研実報, vol.30, no.2, pp.361-383, 1981.
- [53] F.D.Schulman, "Hardware measurement device for IBM system 360 time sharing evaluation," Proc. ACM, pp.103, 1967.

## 第2章

- [1] A.L.Goel and K.Okumoto, "Time-dependent error-detection rate model for software reliability and other performance measures," IEEE Trans. Rel., vol.R-28, no.3, pp.206-211, Aug. 1979.
- [2] A.L.Goel, "Software Error Detection Model with Applications," J. Syst. and Softw., vol.1, pp.243-249, 1980.
- [3] Z.Jelinski and P.B.Moranda, "Software reliability research," in Statistical Computer Performance Evaluation, W.Freiberger, Ed., pp.465-484, Academic Press, New York 1972.
- [4] J.D.Musa, "A theory of software reliability and its application," IEEE Trans. Software Eng., vol.SE-1, no.3, pp312-327, Sep. 1975.
- [5] S.Yamada, M.Ohba and S.Osaki, "S-shaped reliability growth modeling for software error detection," IEEE Trans. Rel., vol. R-32, no.5, PP.475-478, Dec. 1983.
- [6] 山田茂, 大場充, "エラー発見率に基づくS字形ソフトウェア信頼度成長モデルの考察," 情処学論, vol.27, no.8, PP.821-828, 1986.
- [7] 大場充, 梶山昌之: "習熟型ソフトウェア信頼度成長モデル," 情処学会ソフトウェア工学研究会, vol.28-6, pp.31-36, Feb. 1983.
- [8] M.Ohba, "Software reliability analysis models," IBM J. RES. DEVELOP., vol.28, no.4, PP.428-443, JULY 1984.
- [9] 岩佐博: "エラーの重要度およびエラー修正過程を考慮した複合ソフトウェア信頼度成長モデルの提案," 情処学論, vol.29, no.5, PP.506-512, May 1988.
- [10] 日本数学会(編): 岩波 数学辞典 第3版, 岩波書店, pp.851-852, 1985.
- [11] 中川豊, 杉村康, 内山公昭, "TSSにおけるデグレード試験手法," 昭54信学情報・システム部門全大, p.379, 1979.

[12] 小野隆夫, 鎌田正志: "通信ソフトウェアの開発管理," NTT R&D, vol.40, no.11, pp.1483-1490, 1991.

[13] 樋上重夫: "Y P S適用による品質向上への取り組み," 富士通ジャーナル, vol.18, no.2, PP.20-27, 1992.

## 第3章

- [1] A.L.Goel, "Software Error Detection Model with Applications," J. Syst. and Softw., vol.1, pp.243-249, 1980.
- [2] 山田茂, 尾崎俊治, "ソフトウェアの信頼度成長モデルとその比較," 信学論, Vol. J65-D, no.7, pp.906-912, 1982.
- [3] 三 秀武, "ソフトウェアの品質評価法," 日科技連, 1981.
- [4] 山田茂, "ソフトウェア信頼性評価技術," H B J 出版局, 1989.

## 第4章

- [1] 藤野喜一, 花田収悦, "ソフトウェア生産技術," 電子通信学会, 1985.
- [2] R.Fairly, "Software Engineering Concepts," McGRAW-HILL, 1985.
- [3] P.N.Misra, "Software reliability analysis," IBM SYSTEM JOURNAL, vol.22, no.3, pp.262-270, 1983.
- [4] 山田茂, "ソフトウェア信頼性評価技術," H B J 出版局, 1989.
- [5] 三 秀武, "ソフトウェアの品質評価法," 日科技連, 1981.
- [6] A.L.Goel, "Software Reliability Models: Assumptions, Limitations, and Applicability," IEEE Trans. Software Eng., vol. SE-11, no.12, pp.1411-1423, 1985.

## 第6章

- [1] T.Oka, T.Abe, S.Ido and J.Shindo, "Multi-terminal simulating test system," REVIEW of ECL, vol.23,no.9-10, pp.1100-1108, 1975.
- [2] 拜原正人, 神尾視教, 柴武志, 十倉健二, 大町雄一, "多端末試験システム," 研実報, vol.28, no.12, pp.2725-2743, Dec. 1979.
- [3] 斉藤珠喜, 福岡允治, 池田良一, 長浜芳寛, 戸田悟, 萩原和夫, "DIPS 104-02システムサポートシステムの実用化," 研実報, vol.30, no.2, pp.361-383, 1981.
- [4] 中川豊, 杉村康, 内山公昭, "TSSにおけるデグレード試験手法," 昭54信学情報・システム部門全大, p.379, 1979.

## 索引

### あ行

R S P	89
インタラクション時間	84
ウォーターフォールモデル	16
運用	24
S R G M	2
S字形信頼度成長曲線	13
F D M	3, 55
F D Mチャート	77
M T S	89, 94
M T B F	5, 81
M T B D	80

### か行

Capture-Recaptureモデル	6
クライアント/サーバ(C/S)	74
傾向曲線モデル	6
原因結果グラフ法	11
故障時間間隔モデル	5
固有相対検出率	55
ゴンベルツ曲線モデル	6

### さ行

最終相対検出率	55
最新相対検出率	55, 60
最尤法	34
試験工程モデル	22
試験効率化モデル	84
試験時間短縮率	88
指数形 S R G M	13
指数形信頼度成長曲線	13
実行条件	46
実行多重度	46
弱指数形	19

習熟 S 字形 S R G M	15
障害解析結果	79
障害状況	79
信頼度係数	56
信頼度推定モデル	5
信頼度成長曲線	5
スパイラル	1
スループット	94
セッション	86
総合試験	22, 83
相対検出率	55
ソフトウェア信頼性評価モデル	5
ソフトウェア信頼度成長曲線	5
ソフトウェア信頼度成長モデル	5

### た行

段丘形状	27
単体試験	22
遅延 S 字形 S R G M	15
T S S	95
T S P	89
適合性	2
適用性	79
トークン	51
統合試験	22
トラヒック	84
トランジション	51

### な行

入力データ領域モデル	5
ノイズデータ	35

### は行

パーティション試験	11
バス解析法	11
P C U	92
F E P	92
フォールト埋め込みモデル	6

フォールト検出難易度-----	46
フォールト検出難易度モデル-----	3, 55
フォールト検出率-----	8, 13
フォールト検出割合-----	55
フォールト数推定モデル-----	5
フォールト発生メカニズム-----	51
複合SRGM-----	15
ふるい落とし-----	35
ブレイス-----	51
プロセス-----	47
プロトタイピング-----	1
平均故障時間間隔-----	5, 81
平均ダウン時間間隔-----	80
ペトリネット-----	51

## ま行

メインルート-----	22
目標管理-----	1

## や行

有向枝-----	51
ユーザプログラム-----	95

## ら行

ライブラリプログラム-----	95
RASP-----	89, 92
RTP-----	89
領域分割法-----	11
連結指数形SRGM-----	30
ロードモジュール-----	95
ロジスティック曲線モデル-----	6
論理パス-----	94

## わ行

